## • 中枢神经影像学 •

# 海绵窦炎的 MRI 诊断(附 16 例报告)

陈旺生,漆剑频,史瑞华,夏黎明,王承缘

【摘要】 目的:回顾性分析海绵窦炎的临床及 MRI 表现。方法:对 16 例经临床诊断的海绵窦炎患者行 MRI 检查,分别选取矢状面、轴面及冠面扫描,其中 9 例行 Gd-DTPA 增强扫描,1 例加作 MRA 3D-TOF。结果:全部病例病变侧海绵窦形态发生改变,在  $T_1$  WI 呈等低信号, $T_2$  WI 呈高信号,边缘不清。增强扫描明显强化,颈内动脉(ICA)被包绕,管腔变窄并发现多数病例(10/16)同时伴有邻近部位的炎症病灶。结论: MRI 能发现海绵窦炎并作出准确诊断,为临床提供有效信息。

【关键词】 海绵窦;炎症;磁共振成像

【中图分类号】R445.2 【文献标识码】A 【文章编号】1000-0313(2005)05-0427-03

MRI Diagnosis of the Cavernous Sinus Inflammation CHEN Wang-sheng, QI Jian-pin, SHI Rui-hua, et al. Department of Radiology, Tongji Hospital, Tongji Medical College, Huazhong University of Science and Technology, Wuhan 430030, P. R. China

[Abstract] Objective: To analyze MRI features of the cavernous sinus inflammation (CSI) retrospectively. Methods: 16 cases of CSI diagnosed by clinic and MRI were analyzed, MRI imaging was done by using SE sequence on T<sub>1</sub> WI sagittal and FSE on T<sub>2</sub> WI at coronal plane, and FSE on T<sub>2</sub> WI at axial plane respectively. 9 cases were performed Gd-DTPA enhanced MR imaging and in 1 case MRA 3D TOF was added. Results: The shapes of all abnormal cavernous sinuses were changed, the edges became obscured, T<sub>1</sub> WI showed hypo- or slight hypo-intensity and T<sub>2</sub> WI showed hyper-intensity. The enhancement after Gd-DTPA injection was remarkable. The internal carotid artery (ICA) was partly or totally encased and the lumen narrowed. Inflammation of surrounding structure was found in most cases. Conclusion: The CSI can be displayed on MRI clearly and correct dignosis can be made. It is valuable to provide effective information for clinical doctor.

**[Key words]** Cavernous sinus; Inflammation; Magnetic resonance imaging

海绵窦(cavernous sinus, CS)是位于颅中窝蝶鞍两侧的较大静脉腔隙,其内有颈内动脉及多对颅神经通过,周围结构复杂,炎症容易波及。临床上海绵窦炎并不少见。MRI不受颅底骨质的影响,且可以多方位、多参数成像,能清楚地显示海绵窦区的形态改变。目前国内对海绵窦炎的 MRI 报道较少,现搜集 2003年3月~2004年6月经临床抗炎治愈或治疗后明显好转的16例患者 MRI 资料进行整理分析,探讨和总结其 MRI 表现及诊断价值。

#### 材料与方法

本组 16 例海绵窦炎患者,男 10 例,女 6 例,年龄  $7\sim61$  岁,平均 38 岁,均采用 GE1.5T signa 扫描仪,头颅线圈,行颅脑 MRI 平扫,序列包括矢状面和轴面 SE  $T_1$  WI, TR 400 ms, TE 20 ms,轴面 FSE  $T_2$  WI, TR 2000 ms, TE 400 ms。发现海绵窦异常时加扫鞍区,层厚 3.0 mm,间隔 0.5 mm,矩阵 256×192,视野20 cm×

作者单位:430030 武汉,华中科技大学同济医学院附属同济医院放射科 作者简介:陈旺生(1975一),男,湖北蕲春人,硕士研究生,主要从 事中枢神经系统的影像诊断及研究工作。 20 cm。其中 9 例行静脉团注 Gd-DTPA 增强扫描,剂量为 0.1 mmol/kg,行 SE 序列轴位和冠状位 T<sub>1</sub>WI 加权成像。扫描范围包括整个海绵窦区,如发现邻近部位有病变,则加扫直至完全显示。

#### 结果

双侧海绵窦同时发病 10 例,单侧 6 例,CS 增大 11 例,其外缘膨隆且界限不清,但无分叶或结节状改变(图 1a);3 例大小改变不明显,边缘模糊,2 例病变侧较正常范围小,边缘相对清楚。16 例信号改变大致相似, $T_1$ WI接近或稍低于脑实质信号,单侧发病者比正常对侧信号略低, $T_2$ WI 呈稍高信号,增强扫描病灶明显强化(图 2),5 例出现邻近硬脑膜强化。

颈内动脉(internal carotid artery,ICA)部分或全部包绕,推压移位不明显,8 例管壁增厚,管腔变窄,血流缓慢,流空消失,且其中 1 例 3D-TOF MRA 显示脑内分支粗细不均,走行僵直,部分远端闭塞。

CS 各组间隙均可发生改变,表现为模糊、变窄或消失,以前下间隙变化最早出现,外上间隙表现最明显。

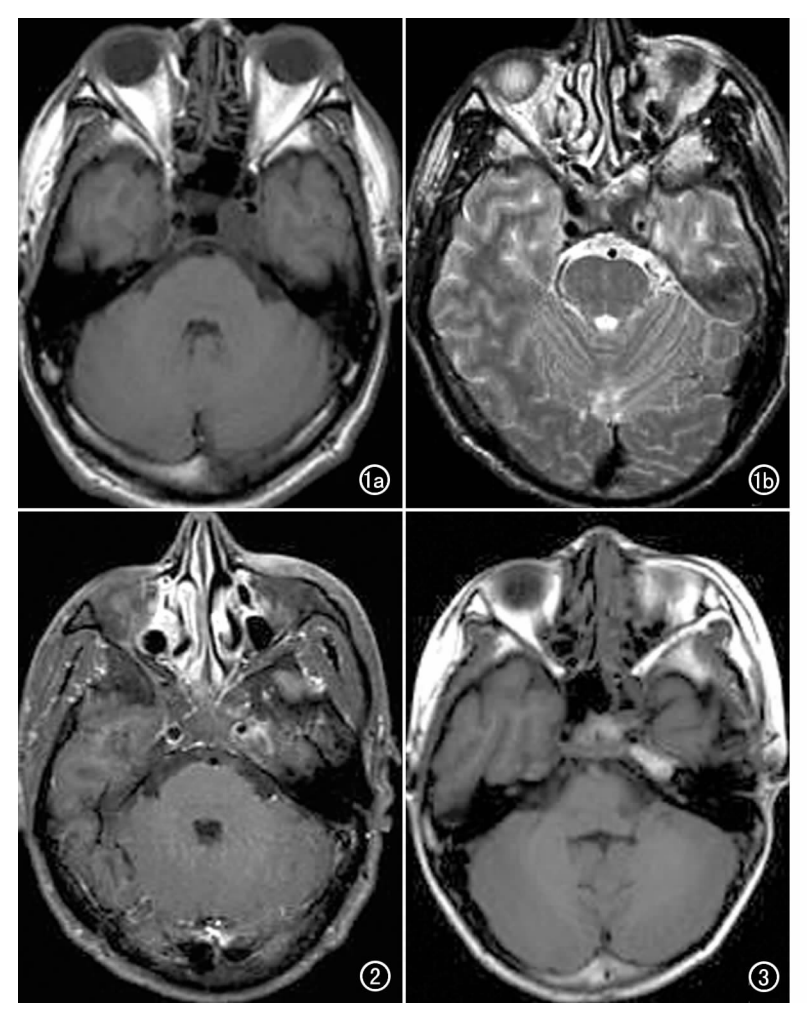


图 1 双侧海绵窦细菌性炎症。a)  $T_1WI$  呈等信号,左侧 ICA 被包绕,管腔变窄,且轻度移位;b) 治疗 1 个月后复查  $T_2WI$ ,显示病灶范围明显缩小,周围间隙清楚。 图 2 左侧海绵窦细菌性炎症,增强扫描明显强化。 图 3 Tolosa-Hunt综合征, $T_1WI$  示左侧海绵窦轮廓增大,呈均匀等信号影,边缘较清晰。

10 例发现有原发感染的炎性病灶,其中 1 例为右颞肌蜂窝织炎,1 例乳突炎,3 例蝶窦炎,1 例脑干明显肿胀呈长  $T_1$ 、长  $T_2$  信号,1 例腿部疖肿,1 例鼻唇沟小疖肿挤压后,还有 1 例为咽旁脓肿。

#### 讨论

海绵窦前起自眶上裂,后止于岩骨尖,解剖结构复杂。对于其性质存在争议,即到底是充满血液的静脉通道还是较大的静脉丛,目前多数学者倾向于后者[1]。海绵窦对称位于蝶鞍两侧,由两层硬脑膜构成,被纤维小梁分隔成许多互相交通的小孔隙,ICA 贯穿其全程,部分细小侧支也位于其中,多支静脉在此汇合,还有动眼神经、滑车神经、外展神经及三叉神经眼支通过于此[1-3]。海绵窦内外病变均能导致其形态和内容的改

变<sup>[4]</sup>,该区域日益受到医学影像和神经内外科的重视。

磁共振成像能清晰显示海绵窦及其相邻结构。正常海绵窦在最大冠状位上呈近似直角三角形,尖端朝外上,平扫 SE  $T_1$ WI 为等信号,FS  $T_2$ WI 呈高信号,边缘光整,ICA 位于其中,呈流空状态。增强扫描明显强化,周围间隙进一步衬托出来,而颅神经强化不明显,呈点状等信号<sup>[5]</sup>。

海绵窦炎的 MRI 表现有一定特征性。 T<sub>1</sub>WI 呈等信号或稍低信号,T<sub>2</sub>WI 为稍高信 号;增强扫描病变侧海绵窦强化明显,且较均 匀,无类似软组织信号影,正常海绵窦强化没 有病变明显。病变累及双侧比单侧者多,可能 先单侧发病而未得到及时治疗通过交通支向 对侧扩散。大部分病侧海绵窦扩大,也可无明 显改变或稍缩小。与有作者[6,7]认为绝大多数 病变可致海绵窦扩大的研究结果略有出入,分 析原因一方面为研究的侧重点不同,分别是炎 症和肿瘤;另一方面细菌性炎症在不同阶段致 海绵窦的改变也不尽相同,渗出期表现为增 大,而当渗出物中纤维蛋白原所形成的纤维素 相互交织成网时使病变局限,海绵窦增大不明 显甚至稍缩小。ICA 部分或全部被包绕,管壁 增厚,管腔变窄,流空缓慢或消失,但移位不明 显,严重时应作 3D TOF MRA 进一步了解脑 内分支是否有累及。本例 16 组各间隙均模糊 变窄或消失。海绵窦炎常伴有邻近结构如鼻 窦、乳突、脑干、面部软组织等的炎性病变,分 析 MRI 图像时应注意全面观察以防漏诊。

海绵窦炎症病因分两类,以细菌性最常见,可能与其同多支静脉相交通病原菌容易侵入有关。临床症状因病灶范围和邻近结构是否有炎性病变而异,多有头痛、发热、呕吐、复视等,本组1例伴脑干脑炎者出现呼吸困难、深度昏迷等严重症状。13例细菌性炎症者经临床抗炎治疗,2~7d体温下降,头痛及呕吐症状减轻,复视也在一定程度上缓解;1个月后作MRI平扫复查显示病变范围不同程度缩小,境界较清晰,T2WI信号较初诊时减低(图 1b)。临床症状的缓解早于MRI征象的变化,治疗效果明显。另一类为 Tolosa-Hunt综合征(THS)(图 3),1954年由 Tolosa 首次报道[8],尸检和病理发现海绵窦区炎症样改变由大量淋巴细胞、浆细胞和成纤维细胞构成。近年 Spector等[9]多次病理证实,支持 THS 为一种非特异性炎症,

与免疫反应相关,类固醇激素治疗有效。临床症状以 头痛和颅神经麻痹为主要表现。本组3例对强的松等 治疗敏感,用药2~3d头痛症状明显减轻,颅神经引起 的症状在1周~3个月内缓解或完全消失。上述两种 病因主要靠实验室和病理检查区分。

海绵窦炎应同其他原发性和继发性病变相鉴别。 除炎症外的原发性病变较少,主要排除颈动脉海绵窦 瘘、动脉瘤、皮样囊肿和脂肪瘤。前二者有异常流空效 应,如伴血栓形成 MRI 表现稍复杂些,作 MRA 和增 强扫描有所帮助;后二者具有典型的信号特征,诊断不 难。继发性病变对海绵窦的侵犯,以侵袭性垂体瘤、鞍 区脑膜瘤和鼻咽癌常见,可累及一侧或双侧。侵袭性 垂体瘤膨胀性生长,而垂体与海绵窦之间仅以脑膜相 隔,病变容易侵入,表现为海绵窦轮廓增大,外缘膨降, ICA 被包绕,推压移位,间隙变窄或消失。有作者认为 ICA 受包绕体积超过 67%或 ICA 沟的静脉部受累,为 海绵窦受侵犯的重要标志[10,11]。增强扫描肿瘤组织 与海绵窦非同步强化且程度不同具有较高判断价值, 垂体瘤早期强化没有海绵窦明显[12]。鼻咽癌主要是 通过卵圆孔侵及海绵窦[13],常在鼻咽部找到原发肿 瘤,T<sub>1</sub>WI呈低信号,T<sub>2</sub>WI多为混杂信号,增强扫描明 显强化。常伴蝶窦和颅底骨质破坏,颈部淋巴结肿大 也不少见。脑膜瘤呈均匀等 T<sub>1</sub> 稍长 T<sub>2</sub> 信号,增强扫 描明显强化及"硬脑膜尾征"具有一定特异性。转移瘤 可同时累及双侧海绵窦,原发肿瘤病史有利于诊断。

MRI 具有解剖结构显示清晰,不受颅骨影响,伪影少,分辨率高等优势,能明确海绵窦炎的范围、程度及周围部位情况,为临床提供治疗依据,尤其是及时诊断对防止炎症进一步扩散而引起败血症等严重后果具

有重要意义。

#### 参考文献:

- [1] 王鹤鸣,柏根基,左国平,等.海绵窦的断层解剖及其临床意义 [J].解剖与临床,1999,4(3):135-137.
- [2] 周良辅.现代神经外科学[M].上海:复旦大学出版社、上海医科大学出版社,2001,890-891.
- [3] 张绍祥.海绵窦的巨微解剖学研究及其临床意义[J].中国临床解剖学杂志,1996,14(1):64-66.
- [4] Sen C, Hague K. Meningiomas Involving the Cavernous Sinus: Histological Factors Affecting the Degree of Resection[J]. J Neurosurg, 1997, 87(4):535-543.
- [5] 柏根基,王鹤鸣,王德杭.海绵窦的 MRI 解剖[J]. 中华放射学杂志,1999,33(5):316-319.
- [6] 郑贤应,李银官,倪希和,等. 海绵窦病变 MRI 诊断[J]. 中国临床 医学影像杂志,2002,13(3):153-156.
- [7] 徐文坚,张云亭,吴恩惠. 海绵窦病变的 CT 和 MRI 研究(附 102 例分析)[J]. 医学影像学杂志,2002,12(1):2-5.
- [8] Tolosa E. Periarterteritic Lesions of Carotid Siphon with Clinical Features of a Carotid Intraclinoidal Aneurysm[J]. J Newrol Neurosurg Psychiat, 1954, 17(4): 300-302.
- [9] Spector RH, Fiandaca MS. The "Sinister" Tolosa-Hunt Syndrome [J]. Neurology, 1986, 36(2):198-203.
- [10] Cottier JP, Destrieux C, Brunereau L, et al. Cavernous Sinus Invasion by Pituitary Adenoma: MR Imaging[J]. Radiology, 2000, 215(6):462-469.
- [11] Bonneville JF, Cattin F, Racle A, et al. Dynamic CT of the Laterosellar Extramural Venous Spaces[J]. Am J Neworadiol, 1989, 10(3):535-542.
- [12] 朱芳,周义成,王承缘,等. 侵袭性垂体瘤的 MRI 和病理研究[J]. 临床放射学杂志,2001,20(9),653-656.
- [13] 龙晚生,汤积耀,罗学毛,等. 鼻咽癌侵犯前中颅窝的 MRI 表现 [J]. 中华放射学杂志,1999,33(2):122-124.

(收稿日期:2004-09-07 修回日期:2004-09-30)

### • 外刊摘要•

### 直接法多排 CT 和 MR 关节腔造影评价慢性肩关节失稳的对照研究

目的:评价直接法多排 CT 关节腔造影(CTA)与直接法 MR 关节腔造影(MRA)诊断慢性肩关节失稳的准确性。方法:对 29 例慢性肩关节失稳患者行前瞻性研究。所有病例均符合行直接法 CTA 和关节镜的骨科适应证。造影前在无菌条件下将 10~20ml 特殊的混合型对比剂(由生理盐水、碘曲伦和马根维显按 125:125:1 比例配制而成)注射至关节腔内。首先,在多排 CT 机上行 CTA 检查并行横断面、斜冠状面和斜矢状面重建。随后行 MRA 检查,横断面成像采用脂肪抑制 SE T<sub>1</sub> WI 序列,斜冠状面成像采用 T<sub>1</sub> 加权 FLASH-3D GRE 序列。将

CTA 和 MRA 表现与关节镜或关节切开术所见行对照研究。结果: MRA 对显示关节唇病变优于 CTA。 MRA 敏感度和特异度均为 96%, CTA 敏感度为 76% (P<0.05), 特异度为 92%。两种方法对评价关节囊扩大效果相似,敏感度均为 91%。结论: MRA 对诊断慢性肩关节失稳优于多排 CT 关节腔造影。

华中科技大学同济医学院附属同济医院 李勇刚 译 王仁法 校 摘自 Fortschr Röntgenstr,2004